

УДК 534-16; 538.951

Посвящается памяти К.С. Александрова

НИЗКОЧАСТОТНАЯ МЕХАНИЧЕСКАЯ РЕЛАКСАЦИЯ В КРИСТАЛЛАХ СоO

© 2011 г. С. А. Гридинев

Воронежский государственный технический университет

E-mail: s_gridnev@mail.ru

Поступила в редакцию 19.07.2010 г.

В диапазоне температур от -180 до 20°C на частотах порядка нескольких Герц изучено внутреннее трение Q^{-1} в кристаллах СоO, номинально чистых и с добавками Li. Легирование кристаллов СоO примесями Li приводит к появлению на температурной зависимости нового релаксационного максимума Q^{-1} при -115°C на частоте 3 Гц. Возникновение этого максимума связывается с переориентацией упругого диполя $\text{Co}^{3+}-\text{Li}^{1+}$ под действием внешних механических напряжений.

ВВЕДЕНИЕ

Окислы переходных металлов (в том числе и СоO) привлекают внимание исследователей в связи с возможностью их использования в качестве модельных кристаллов для теоретических исследований [1], а также из-за наметившихся в последние годы практических применений в качестве высокотемпературных термоэлектрических материалов [2, 3]. Наибольший интерес представляют антиферромагнитные окислы переходных металлов, легированные различными примесями, существенно изменяющими их свойства. Введение примеси (точечного дефекта) в кристалл создает локальные упругие искажения, в результате которых дефект взаимодействует с механическим напряжением, приложенным к кристаллу. Поэтому при изучении дефектов и их влияния на основные физические свойства часто используют метод внутреннего трения, который обладает высокой структурной чувствительностью и информативностью [4, 5]. Однако систематического изучения внутреннего трения Q^{-1} в антиферромагнитных окислах подгруппы железа не проводилось, а в некоторых работах, посвященных этому вопросу, механические потери изучались только в килогерцевом диапазоне частот и в узком интервале температур в окрестности точки Нееля.

Целью данной работы явилось изучение влияния добавок Li на низкочастотное внутреннее трение Q^{-1} и модуль сдвига G в кристаллах СоO, выращенных методом электродугового переноса и полученных по керамической технологии.

МЕТОДИКА ЭКСПЕРИМЕНТА И ОБРАЗЫ

Поликристаллические образцы СоO получали по обычной керамической технологии путем спекания тщательно перемешанного порошка квалификации “ч.д.а.” в воздушной среде. Моно-кристаллы СоO были выращены в электрической дуге постоянного тока на специально сконструированной установке. В качестве дуговых электродов использовались керамические стержни из оксида кобальта, которые предварительно отжигались в восстановительной атмосфере водорода при 400°C в течение 0.5 ч для получения электропроводности, достаточной для зажигания дуги. Рост кристалла происходит в результате сублимации вещества катода (температура горения дуги ~ 5000 К), дальнейшего его транспорта и кристаллизации на аноде со скоростью 5–6 мм/ч. Для предотвращения растрескивания выращиваемых кристаллов ростовой объем окружен платиновым экраном. Выращенные кристаллические були диаметром 8–10 мм и длиной 30–40 мм подвергались отжижу при 1400°C в течение 6–8 ч для снятия термических напряжений. Плотность дислокаций в хорошо отожженных кристаллах, выявленная методом избирательного травления, составляла величину $\sim 10^5$ см $^{-2}$. Согласно данным спектрального анализа, концентрация примесей Ti, Ni, Si и Mg в образцах СоO не превышала 10^{-2} мас. %.

Внутреннее трение Q^{-1} и модуль сдвига G кристалла измеряли методом обращенного крутильного маятника [6] при амплитуде деформации образца 10^{-5} в диапазоне температур от -180 до 20°C . Величины Q^{-1} и G оценивали по измеренным в эксперименте значениям декремента затухания и резонансной частоты маятниковой си-

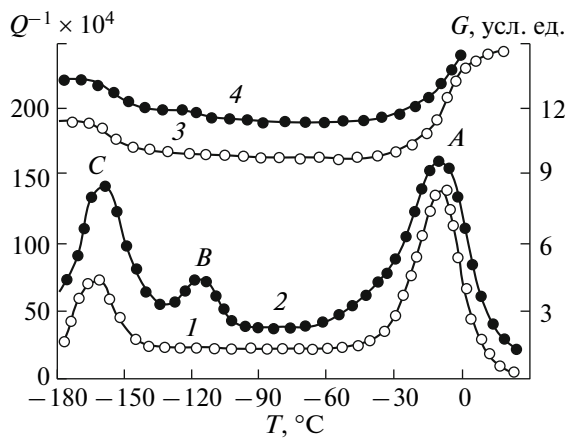


Рис. 1. Температурные зависимости Q^{-1} (1, 2) и G (3, 4) для поликристаллических образцов CoO без добавок (1, 3) и с добавкой 0.1 мас. % Li (2, 4). Частота 3 Гц.

стемы с погрешностями 10 и 5% соответственно. Образцы для исследований Q^{-1} и G имели вид прямоугольных брусков размером $2 \times 2 \times 30$ мм.

РЕЗУЛЬТАТЫ ЭКСПЕРИМЕНТА И ИХ ОБСУЖДЕНИЕ

На температурной зависимости Q^{-1} , измеренной для номинально чистого поликристаллического CoO на частоте ~3 Гц, наблюдаются два пика, обозначенные буквами A и C при температурах -164 и -20°C соответственно (рис. 1, кривая 1). Температурная зависимость G в области пика A обнаруживает резкий рост с повышением температуры (кривая 3), что связано со структурным фазовым переходом, а в области пика C имеет характерный для релаксационных процессов вид уступа. Введение в керамику добавки 0.1 мас. % Li приводит к появлению при -115°C еще одного пика внутреннего трения, обозначенного на рисунке буквой B (кривая 2), чему соответствует ступенчатое изменение модуля сдвига G (кривая 4). Таким образом, температурный спектр механических потерь в легированном CoO имеет сложный вид. Не обсуждая природу пиков A и C , остановимся на вопросах, связанных с возможными физическими процессами, ответственными за пик B .

Прежде всего отметим, что возникновение пика B связано с введением в кристалл CoO добавки Li, так как в кристаллах без добавок такая аномалия Q^{-1} отсутствует. Пик B является релаксационным, об этом свидетельствует его смещение в сторону более высоких температур при увеличении частоты. Энергия активации релаксационного процесса, определенная по температурному смещению пика Q^{-1} при изменении частоты, составила 0.3 ± 0.1 эВ, а предэкспоненциальный мно-

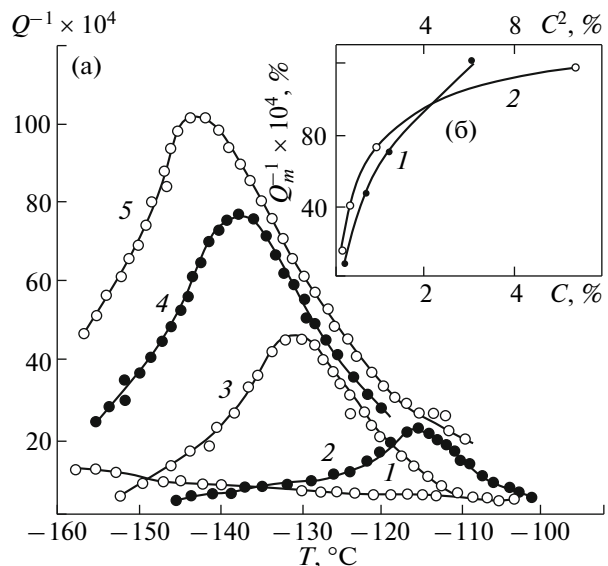


Рис. 2. Температурные зависимости Q^{-1} в CoO при разном содержании добавки Li, мас. % (а): 1 – 0; 2 – 0.1; 3 – 0.5; 4 – 1.0; 5 – 3.0. Частота 3 Гц. На врезке (б): Зависимость высоты пика Q_m^{-1} от концентрации (1) и квадрата концентрации (2) добавки Li.

житель в уравнении Аррениуса $\tau_0 = 10^{-12}$ с. Высота Q_m^{-1} пика B растет при увеличении концентрации добавки Li до 3 мас. %, одновременно пик Q^{-1} смещается вниз по шкале температур (рис. 2а).

В поликристаллических образцах твердых растворов механические потери можно рассматривать на основе модели Вагнера, согласно которой потери обусловлены перестройкой межзеренной структуры, возникшей в процессе спекания керамических образцов. Однако в наших экспериментах пик B присутствует на температурной зависимости Q^{-1} , снятой не только для керамических образцов, но и для монокристаллов CoO с добавкой 0.1 мас. % Li. При этом энергия активации и τ_0 имеют те же значения, что были получены для керамических образцов. Этот факт свидетельствует о том, что релаксационный процесс, ответственный за пик B , не связан с зернограничной релаксацией.

По-видимому, природа обсуждаемого пика B не является дислокационной, поскольку изменение плотности дислокаций почти на два порядка путем предварительного пластического деформирования кристалла практически не повлияла на высоту максимума Q^{-1} (рис. 3).

Пик внутреннего трения в кристаллах CoO: Li (пик B) не изменяется в результате воздействия на кристалл статического механического напряжения величиной до 5×10^6 Н/м², что делает маловероятным доменный механизм потерь, так как за-

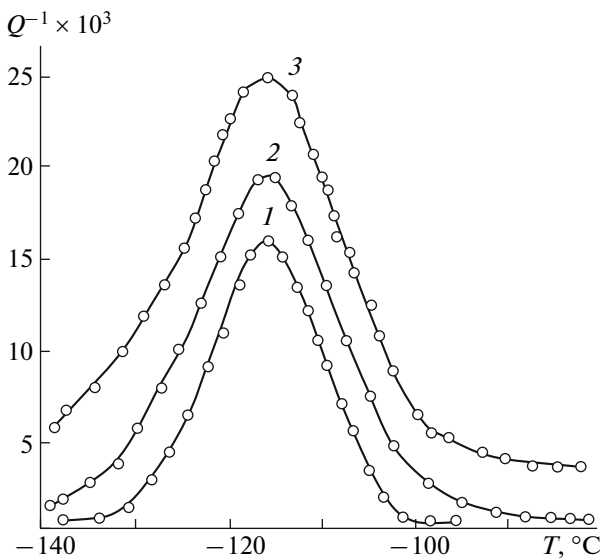


Рис. 3. Температурные зависимости Q^{-1} в окрестности пика B для монокристалла $\text{CoO} + 0.1$ мас. % Li при разной плотности дислокаций: 1 – 5×10^5 ; 2 – 5×10^6 ; 3 – $5 \times 10^7 \text{ см}^{-2}$. Частота 3 Гц.

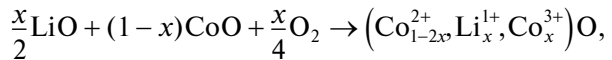
метная перестройка доменной структуры происходит уже при напряжении 10^5 Н/м^2 [7].

Рентгеновский анализ образцов твердого раствора $\text{Li}_x\text{Co}_{1-x}\text{O}$ показал, что растворимость Li сохраняется вплоть до $x = 0.2$, т.е. исследованные в работе образцы были однофазными, и особенности обнаруженной механической релаксации нельзя объяснить явлениями, происходящими в другой фазе.

Проанализируем возможные виды неупругой релаксации, обусловленной точечными дефектами, которые могут возникнуть в кристаллической решетке CoO при добавлении в нее инородного атома. В качестве таких дефектов могут выступать атомы внедрения, атомы замещения и вакансии, поэтому надо выяснить, какой тип дефектов создаются атомы Li, введенные в решетку CoO .

Окись кобальта имеет кристаллическую решетку со структурой типа NaCl и плотноупакованной кислородной подрешеткой ($a = 4.26 \text{ \AA}$). Все октаэдры в решетке заняты ионами Co^{2+} . Стехиометрическую CoO получить весьма сложно. Обычно она содержит определенный избыток кислорода вследствие фактического недостатка металла. В связи с необходимостью сохранения электрической нейтральности кристалла это приводит к появлению в решетке CoO ионов Co^{3+} с избыточным положительным зарядом. Оценка, сделанная в [8] с учетом потенциалов ионизации Co, сродства кислорода к электрону и потенциала Маделунга, показала, что образование ионов Co^{3+} энергетически выгоднее возникновения анионов O^{1-} . Таким образом, в CoO в окта-позициях наря-

ду с ионами Co^{2+} возникают и ионы Co^{3+} . Тот факт, что нестехиометрический электронейтральный кристалл CoO характеризуется наличием катионных вакансий, подтверждается дырочной проводимостью исследуемых кристаллов и меньшим значением плотности по сравнению с теоретической плотностью [8]. Уменьшение плотности образцов твердого раствора $\text{Li}_x\text{Co}_{1-x}\text{O}$ с ростом x свидетельствует о замещении в решетке тяжелых атомов Co более легкими атомами Li. Монотонное уменьшение параметра элементарной ячейки в твердом растворе $\text{Li}_x\text{Co}_{1-x}\text{O}$ при увеличении концентрации добавки Li также свидетельствует в пользу того, что ионы Li (ионный радиус $R_{\text{Li}^+} = 0.78 \text{ \AA}$) замещают ионы Co (ионный радиус $R_{\text{Co}^{2+}} = 0.82 \text{ \AA}$), так как $R_{\text{Li}^+} < R_{\text{Co}^{2+}}$. Это предположение подтверждает также следующий факт. Если считать, что образование твердого раствора $\text{Li}_x\text{Co}_{1-x}\text{O}$ происходит в соответствии с реакцией



т.е. если ион Li замещает Co – основной катион раствора, то в этом случае электропроводность σ составов с разной концентрацией примесных атомов Li должна увеличиваться пропорционально содержанию Li. В эксперименте наблюдалось именно такое поведение σ от x.

Таким образом, рассмотренная выше совокупность экспериментальных фактов свидетельствует о том, что Li предпочтительно замещает основной катион Co в кристаллах CoO .

Из релаксационных процессов, обусловленных точечными дефектами в кристаллах, наиболее хорошо изучены релаксация Сноека, релаксация Зинера и релаксация пары “вакансия – примесь замещения” [9–11].

Релаксация Сноека [9, 11] обусловлена примесными атомами внедрения (обычно менее 0.1 ат. %), растворенными в ОЦК-решетке кристаллов и действующими как упругие диполи тетрагональной симметрии. Внедренный атом примеси совершает термически активируемые скачки в соседние положения, при этом ось диполя каждый раз переориентируется на 90° , что сопровождается механическими потерями. Высота релаксационного пика Q^{-1} изменяется линейно с концентрацией, а энергия активации пика Q^{-1} является энергией активации миграции примесных атомов внедрения. Поскольку исследуемый твердый раствор $\text{Li}_x\text{Co}_{1-x}\text{O}$ представляет собой твердый раствор замещения, а не внедрения, то интерпретация закономерностей низкочастотного пика Q^{-1} в рамках механизма Сноека маловероятна.

В твердых растворах замещения может наблюдаться релаксация, связанная с изменением отно-

сительного расположения атомов в сплаве под действием внешних напряжений – так называемая релаксация Зинера [9, 10]. При низких концентрациях примеси высота релаксационного пика Q^{-1} , согласно этому механизму, пропорциональна квадрату концентрации растворенных атомов, а энергия активации представляет собой энергию активации диффузии примесных атомов. Релаксационный пик B внутреннего трения в низкотемпературной фазе кристалла CoO, легированного Li, по-видимому, не является зинеровским, поскольку, во-первых, высота пика Q_m^{-1} не пропорциональна квадрату концентрации легирующей добавки Li (рис. 2б, кривая 2), а во-вторых, энергия активации пика B (равная 0.3 эВ) гораздо меньше энергии активации диффузии атомов Li в CoO, которая, согласно [8], составляет 1.2 эВ.

В ионных кристаллах при неизовалентном замещении ионов наблюдаются также релаксационные процессы, обусловленные образованием пар “вакансия – примесный атом замещения” [12, 13]. Благодаря кулоновскому взаимодействию иона примеси и вакансии в таких системах возникает упругий диполь, переориентация которого под действием внешних механических напряжений и является причиной внутреннего трения. Энергия активации такого процесса должна быть близка к энергии активации диффузии атомов в кристалле, поэтому такой механизм также не может быть ответствен за релаксационный пик B в CoO: Li, энергия активации которого заметно меньше.

Особенности поведения низкочастотного внутреннего трения в CoO с добавками Li можно объяснить на основе модели перескоков носителей заряда, рассмотренной в [14]. Суть механизма релаксации заключается в следующем. Если в решетку диэлектрика ввести иновалентный атом примеси, то это приведет к появлению дырки или электрона, которые затем могут быть захвачены примесью. Таким образом, в решетке кристалла создается электрический и упругий диполь, переориентация которого под действием внешних механических напряжений приводит к релаксации, связанной с перемещением дырки или электрона.

Известно, что чистый кристалл CoO является полупроводником p -типа со структурой типа NaCl, причем, согласно оценкам, образование катионов Co^{3+} энергетически выгоднее, чем возникновение анионов O^{1-} . Добавка иона Li^{1+} приводит к появлению электрического диполя $\text{Li}^{1+} - \text{Co}^{3+}$. При достаточно низких температурах дырка связана с Li^{1+} силами кулоновского взаимодействия. Она может перемещаться вокруг иона Li^{1+} по ближайшим к нему ионам Co^{2+} . При этом диполь $\text{Li}^{1+} - \text{Co}^{3+}$ изменяет свою ориентацию, что

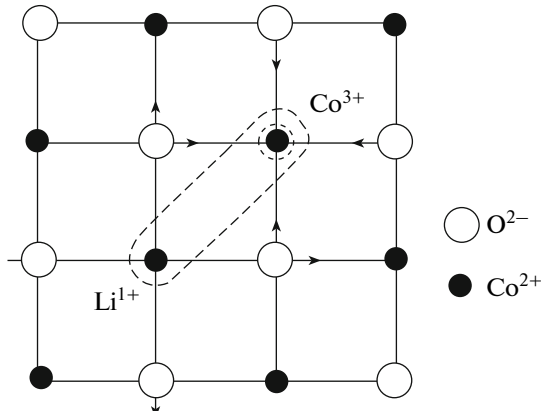


Рис. 4. Схема образования упругого диполя в кристалле CoO, легированном ионами Li.

вызывает определенные искажения решетки, так как ионы кислорода отталкиваются эффективным отрицательным зарядом иона Li^{1+} в решетке CoO и притягиваются эффективным положительным зарядом иона Co^{3+} (рис. 4). Эффект усиливается тем, что ионный радиус Co^{3+} (0.82 Å) больше, чем у Li^{1+} (0.78 Å). В результате вокруг иона Co^{3+} образуется уплотнение, а вокруг иона Li^{1+} разрежение. Поэтому пара $\text{Li}^{1+} - \text{Co}^{3+}$ является не только электрическим, но также и механическим диполем. Переориентация диполя может осуществляться как в переменном электрическом поле, так и под действием переменных механических напряжений в результате перескоков дырки по ионам Co^{3+} , являющимся ближайшими соседями Li^{1+} . При этом максимум потерь должен наблюдаться при частоте измерительного поля, равной частоте перескока дырок.

Очевидно, образование упругого диполя $\text{Me}^{1+} - \text{Co}^{3+}$ возможно в тех случаях, когда Me^{1+} имеет более низкое значение электроотрицательности по сравнению с Co^{3+} и более высокую величину второго ионизационного потенциала по сравнению с третьим потенциалом ионизации Co^{3+} .

Если брать в качестве примесной добавки щелочные элементы, например, Li, Na или K, то, согласно написанному выше критерию, к образованию упругого дипольного центра в CoO (а следовательно, к релаксационному пику Q^{-1}) должны приводить добавки Li и Na. Это связано с тем, что электроотрицательность Co (равная 1.7) больше, чем у Li (1.0) или Na (0.5), а вторые потенциалы ионизации Li (75.62 эВ) и Na (47.30 эВ) превосходят 3-й потенциал ионизации Co (33.49 эВ). Электропроводность таких твердых растворов должна увеличиваться с ростом концентрации примесной добавки, так как каждый примесный атом приводит к образованию дырки. В отличие от добавок Li и Na примесные атомы K не должны

вызывать образование дипольной пары K^{1+} — Co^{3+} по следующим соображениям. Хотя электроотрицательность K (равная 0.8) близка по величине к электроотрицательности Li и Na, но 2-й потенциал ионизации атома K (31.70 эВ) меньше 3-го потенциала ионизации атома Co [15]. Следовательно, для обеспечения условия электронейтральности атом K должен быть дважды ионизирован, в этом случае диполь не образуется.

Таким образом, полученные результаты позволяют считать, что релаксационный процесс, ответственный за пик B в $CoO: Li$, обусловлен переориентацией упругих диполей Co^{3+} — Li^{1+} под действием переменного внешнего напряжения. Предполагается при этом, что ион кислорода сохраняет свой двойной заряд из-за большого значения сродства к электрону, а ион лития — один положительный заряд из-за того, что имеет высокий второй ионизационный потенциал. В результате каждый акт замещения иона Co^{2+} на ион Li^{1+} сопровождается образованием одного иона Co^{3+} и одной дырки. Тогда увеличение концентрации примеси Li в решетке CoO приводит к такому же увеличению числа ионов Co^{3+} , дающих вклад в механическую релаксацию, и числа дырок, обуславливающих электрическую проводимость кристалла. По-видимому, элементарный механизм, ответственный за пик B и электропроводность, является общим, что согласуется с одинаковой зависимостью энергий активации релаксационного процесса и электропроводности от концентрации добавки лития.

Работа выполнена при частичной финансовой поддержке Российского фонда фундаментальных исследований (грант № 09-02-97500 р_центр_a).

СПИСОК ЛИТЕРАТУРЫ

1. Метфесель З., Маттис Д. Магнитные полупроводники. М.: Мир, 1972. 405 с.
2. Fujita K., Mochida T., Nakamura K. // Jpn. J. Appl. Phys. Part 1. 2001. V. 40. P. 4644.
3. Funahashi R., Mihara T., Mikami M. et al. // Appl. Phys Lett. 2004. V. 85. P. 1036.
4. Гриднев С.А., Павлов В.С., Постников В.С., Турков С.К. // Аналитические возможности метода внутреннего трения. М.: Наука, 1973. 196 с.
5. Gridnev S.A. // Ferroelectrics. 1990. V. 112. P. 107.
6. Gridnev S.A., Kosilov A.T. // J. Phys. D: Appl. Phys. 2002. V. 35. P. 1538.
7. Кристиан Д. Фазовые превращения. М.: Мир, 1968. 272 с.
8. Мень А.Н., Воробьев Ю.П., Чуфаров Г.И. Физико-химические свойства нестехиометрических окислов. Л.: Химия, 1973. 223 с.
9. Новик А., Бери Б. Релаксационные явления в кристаллах. М.: Атомиздат, 1975. 472 с.
10. Golovin I.S., Jager S., Semin V.A. et al. // Solid State Phenomena. 2008. V. 137. P. 69.
11. Weller M., Wegst U.G.K. // Mater. Sci. Eng. A. 2009. V. 521–522. P. 39.
12. Wachman J.B. // Phys. Rev. 1963. V. 131. № 2. P. 517.
13. Dreyfus R.W. // Phys. Rev. 1961. V. 121. № 6. P. 1675.
14. Гриднев С.А. Механизмы внутреннего трения в сегнетоэлектриках и сегнетоэластиках. дисс.... д-ра физ.-мат. наук. Л.: ЛПИ, 1983.
15. Таблицы физических величин. Справочник / Под ред. Кикоина И.К. М.: Атомиздат, 1976. 1008 с.